

早稲田大学理工学部 正会員 速藤 郁夫
国土館大学工学部 正会員 ○金成 英大
日本鋼管 影山 佳秀

1. 結論 下水汚泥の粘度は汚泥中に砂粒子、粗大粒子および纖維状物質等が存在するため、回転粘度計を用いて測定することが困難である。この様な場合には、汚泥中から粘度測定に障害となる物質を除去して測定しなければならない。しかししながら、実際の下水汚泥の粘度、特に、摩擦損失係数を検討する場合、この阻害物質を含んだ状態で解析する必要がある。

本研究は管路実験および回転粘度計で流体の構造粘度指数および流体粘稠度指数を求めた。すなわち、本研究の目的は回転粘度計から流体の構造粘度指数および流体粘稠度指数などの諸物性を求めるのが困難である流体についても、実験管路から直接、これらを求める方法を確立しようとするものである。

2. 実験方法 スラリーの流動特性および粘度は同心円筒回転粘度計を用いて測定した。この粘度計は外筒半径 $R_o = 1.50\text{ cm}$ 、内筒半径 $R_b = 1.25\text{ cm}$ および内筒の長さ $l = 7.0\text{ cm}$ である。外筒の回転数は $0 \sim 450\text{ rpm}$ の範囲とし、 50 rpm ずつ変化させて内筒の受けけるトルクを求めた。

実験管路は塩化ビニール製で、管径 0.92 cm である。流量は重量法により、摩擦損失水頭はマノメータで測定した。実験に使用したスラリーは粘土、上水汚泥およびヤントナイトである。

3. 実験結果および考察

3.1. スラリーの流動特性 スラリーの粘度を回転粘度計で測定した場合、トルクは測定回数とともに減少し、ある一定値に収束するため、この収束した状態の回転数ヒトルクとの関係から、次式で速度勾配 ($G(\text{反})$) とせん断応力 (τ_b) を計算した。すなわち、

$$G(\tau_b) = \frac{4\pi N}{1 - 1/S^2} [1 + \kappa_1 (\frac{1}{n''} - 1) + \kappa_2 (\frac{1}{n''} - 1)^2] \quad (1)$$

$$\tau_b = \frac{M}{2\pi R_b^2 l} \quad (2)$$

N : 回転数, M : トルク, $S = R_o/R_b$

$$\kappa_1 = \frac{S^2 - 1}{2S^2} (1 + \frac{2}{3} \ln S), \quad \kappa_2 = \frac{S^2 - 1}{6S^2} \ln S, \quad n'' = \frac{d(\log M)}{d(\log N)}$$

図-1はスラリーの代表例として、ヤントナイトの速度勾配とせん断応力との関係について示したものである。図-1から、ヤントナイトは濃度 $36,000\text{ mg/l}$ 以上で擬塑性流体としての挙動を示すことが認められる。さらに、粘土および上水汚泥についても以上のようにして流動特性を判定した結果、粘土は濃度 $50,000\text{ mg/l}$ 以上および上水汚泥は $36,000\text{ mg/l}$ 以上で擬塑性流体として取り扱うことができるこことを確認した。

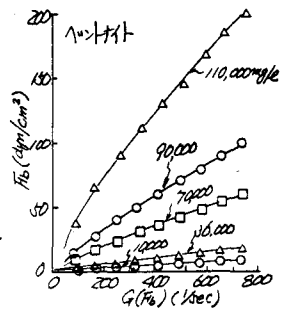


図-1 ベントナイトの流動特性

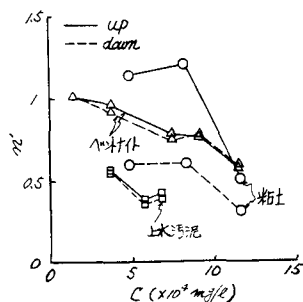


図-2 固形物濃度と m'

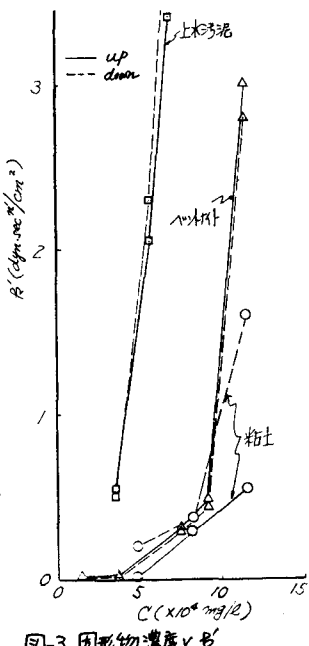


図-3 固形物濃度と β

3.2. 実験管路による構造粘度指数および流体粘度指数

スラリーの流动特性は擬塑性流体として取り扱うことができるため、管内流动は次式となる。

$$\frac{D \cdot \Delta P}{4L} = \tau_w = \eta' \left(\frac{8V}{D} \right)^{\eta'} \quad (3)$$

D : 管径, ΔP : 壓力損失, L : 管長, V : 流速, η' : 構造粘度指数, η : 流体粘度指数。

η' より η は小さな流速から徐々に流速を大きくした場合 (up) の V と ΔP および大きな流速から徐々に流速を小さくした場合 (down) のそれとの関係からそれを求め図-2 および図-3 に示した。これらの図から、粘土について、up と down の場合の η' より η が大きくなっているのに対して、ペントナイトおよび上木汚泥では、up と down の場合の η' より η にはほとんど差異がないことが認められる。これは粘土 (砂分 21%, 泥分 51%, 粘土分 28%) が砂分を多く含んでいたため、 V と ΔP の関係を測定してから間に砂分が実験装置や管路内に沈殿し、図-4 に示すように管内を流动してからスラリーの濃度が流速とともに変化したためと考えられる。これに対して、実験に使用した上木汚泥 (砂分 0%, 泥分 34%, 粘土分 26%) よりペントナイト (砂分 0%, 泥分 18%, 粘土分 82%) はいずれも砂分を全く含んでいたため、測定中に砂分の沈殿による濃度変化がほとんどなく、up と down の η' と η が一致したものと考えられる。

以上の検討結果から、管路実験でスラリーの粘度を測定する場合、砂分の沈殿堆積を防止することが肝要である。また、down を測定することも大切である。

3.3. 管路実験と回転粘度計から求めた粘度

擬塑性流体の管壁における速度勾配 (du/dr) は次の式で表わせる。すなはち、

$$\left(-\frac{du}{dr} \right)_w = \left(\frac{3\eta' + 1}{4\eta'} \right) \left(\frac{8V}{D} \right) \quad (4)$$

一方、管壁におけるせん断応力 (τ_w) は ΔP を用いて (3) 式から求める。図-5、図-6 および図-7 はそれを粘土、上木汚泥およびペントナイトスラリーについて、管路実験および回転粘度計で求めた速度勾配とせん断応力との関係の一例を示したものである。粘土の場合、図-5 に示したように、管路実験に比べて回転粘度計で求めた粘度が大きくなっている。これは、回転粘度計の測定には十分に搅拌混和した試料を用いたため、砂分がかなり含まれていて、これに対して、管路実験では砂分が沈殿堆積し、測定時のスラリー濃度が流速とともに変化したためであると考えられる。上木汚泥は図-6 に示すように、管路実験で求めた粘度が回転粘度計の場合に比べて、大きな値を示している。これは、上木汚泥は砂分を含まないが、凝集性を持っていて、回転粘度計内で凝聚分散し、粘度計で求めた粘度が小さくなつたものと考えられる。一方、図-7 はペントナイトについて示したものである。この場合、管路実験および回転粘度計で求めた粘度はかなり良く一致している。これは、ペントナイトは砂分を含んでおらず、また、凝集性もないことから、砂分の沈殿や凝聚性による凝聚分散が発生しないためと考えられる。

4. 結論

泥漿の管路輸送におけるスラリーの粘度について管路実験および回転粘度計を用いて検討した結果をまとめると、次の結論を得る。

- (1) 管路実験でスラリーの粘度を測定する場合、装置中に砂分等が沈殿堆積しないようにする方が大切である。
- (2) 砂分を含まない非凝集性ペントナイトスラリーの場合、管路と回転粘度計で求めた粘度は良く一致する。

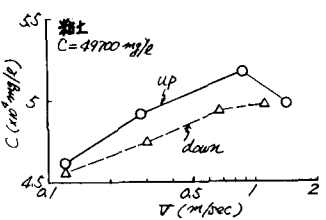


図-4 流速と管内の固形物濃度

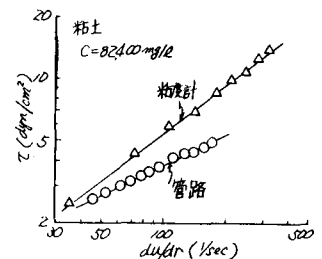


図-5 粘土の速度勾配とせん断応力

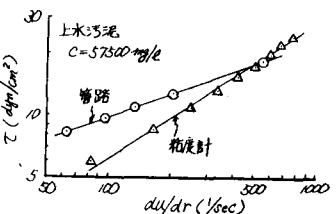


図-6 上木汚泥の速度勾配とせん断応力

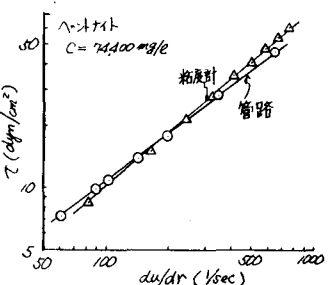


図-7 ペントナイトの速度勾配とせん断応力